

Large-Eddy Simulation von reaktiven Multiphasenströmungen

A. Rittler, M. Rabaçal, A. Kempf | Lehrstuhl Fliddynamik
Institut für Verbrennung und Gasdynamik, Universität Duisburg-Essen



Motivation

Reaktive Multiphasenströmungen sind in verschiedenen Anwendungen von Bedeutung z.B.

- Gasturbinen
- Diesel-Motoren
- Kohlenstaubkraftwerke
- Nanopartikel Reaktoren

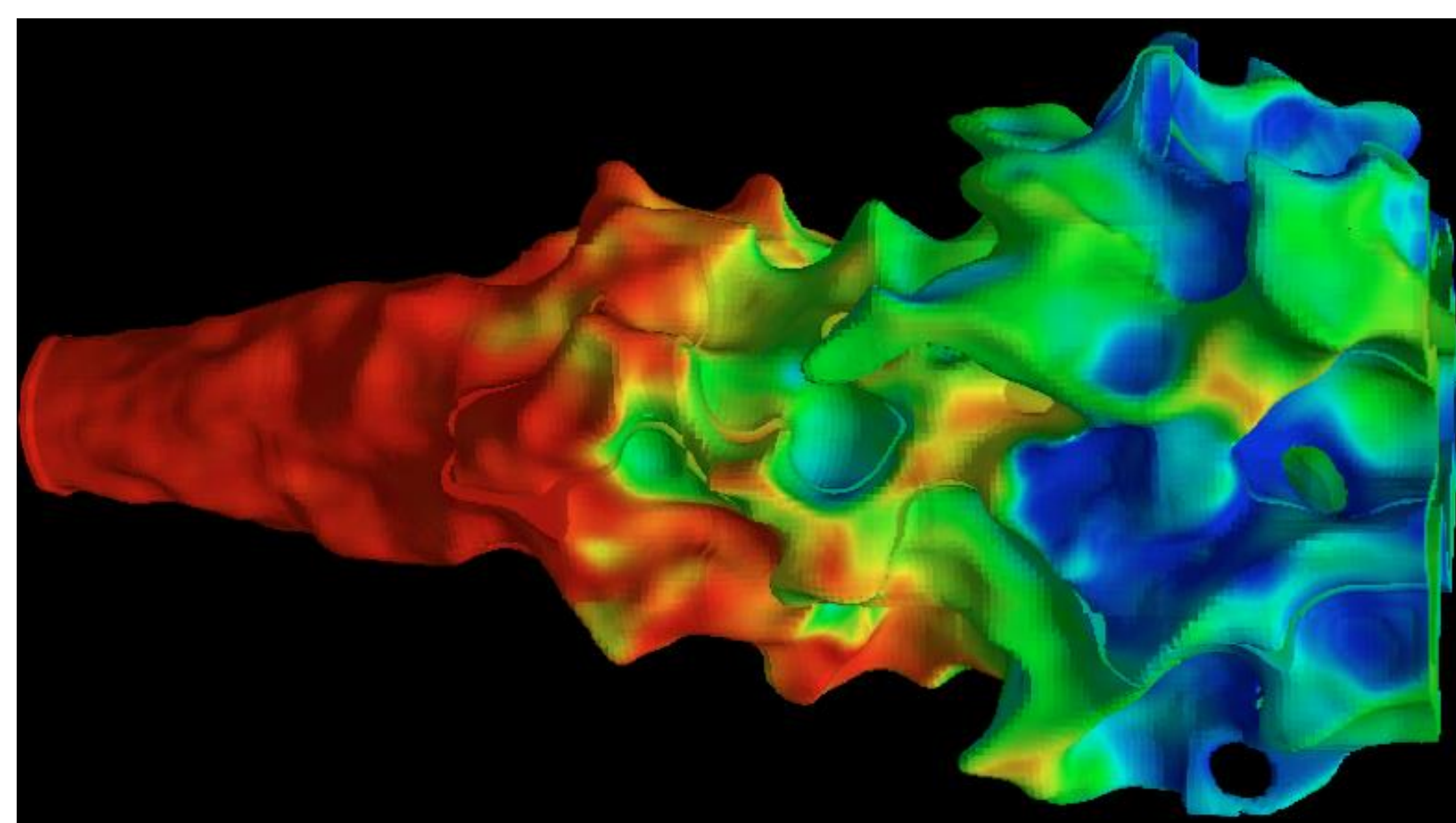


Abb. 1: Turbulente Flamme des Cambridge geschichteten Brenners, Darstellung des Iso-Volumens des Reaktionsquellterms, eingefärbt mit dem reziproken Verbrennungsluftverhältnisses (F. Proch)

Problemstellung und Ziel

Das Projekt hat das Ziel einen Beitrag zum Verständnis reaktiver Mehrphasenströmungen zu liefern. Dafür werden Partikeltransport- und Chemie-Modelle entwickelt und diese in den in-house LES Code PsiPhi implementiert. Die entwickelten Modelle werden anhand verschiedener Experimente validiert.

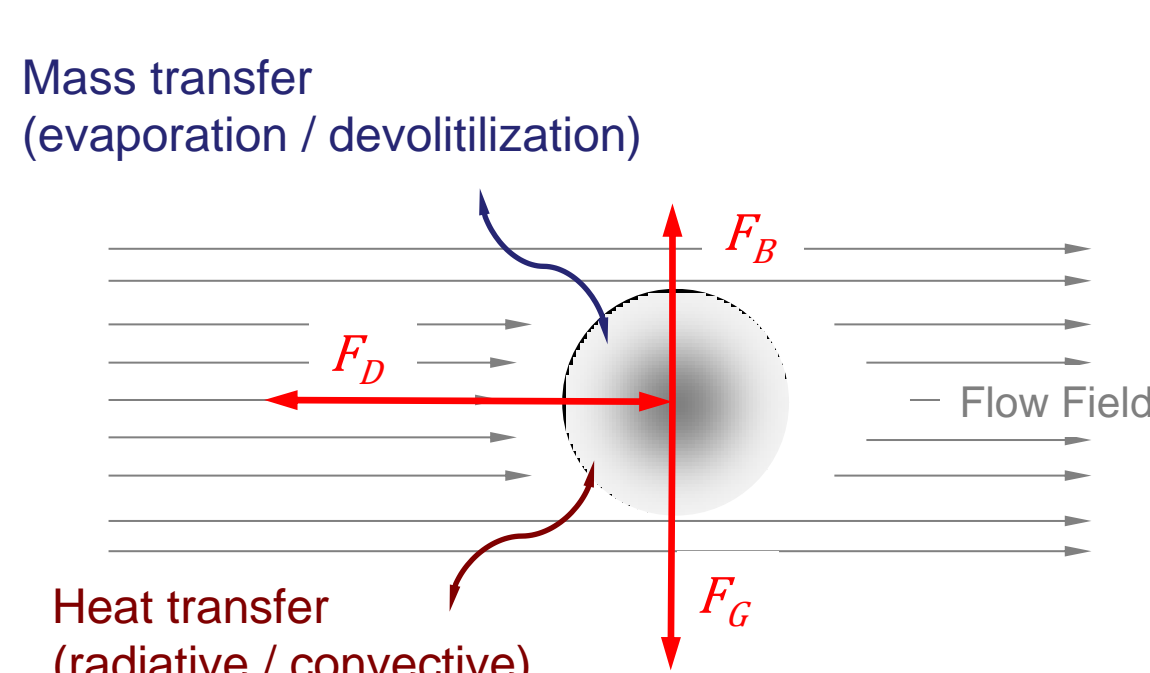


Abb. 2: Skizze einer Mehrphasenströmung, Darstellung des Massentransfers, Wärmetransfers und der Kräfte die auf den Partikel bzw. vom ausgeübt werden.

Das Simulationsprogramm

- LES In-house Code
- Favre-gefilterte Erhaltungsgleichungen in 3D
- Finite Volumen Methode
- Strukturierte und äquidistante Zellen
- Räumliche Diskretisierung der Impuls Gleichungen mittels zweiter Ordnung Zentral Differenzen Verfahren (CDS)
- Und zweiter Ordnung TVD Verfahren für Dichte und Skalare
- Dritte Ordnung Runge-Kutta Verfahren für Zeitintegration



Partikel-Transport Methode

- Euler-Lagrange Methode für Gas-Partikel Phasen
- Partikel Bewegung gemäß:

$$\frac{dx_{p,i}}{dt} = u_{p,i}, \quad \frac{du_{p,i}}{dt} = a_{p,i}, \quad a_{i,p} = \frac{1}{\tau_p} (\bar{u}_i - u_{p,i}) + \left(1 - \frac{\bar{\rho}}{\rho_p}\right) g_i$$

Mit der Partikel Relaxations-Zeit

$$\tau_p = \frac{\rho_p d_p^2}{18\mu (1 + \frac{3}{20} Re_p^{0.687})}$$

Die Partikelverdampfung erfolgt nach dem d^2 -Gesetz:

$$\frac{dd_p^2}{dt} = -4 \frac{\bar{\rho}}{\rho_p} D \ln(B_M + 1) N u_p$$

Particle devolatilization (Coal/Biomass)
Complex kinetics using CPD, FLASHCHAIN.

Char combustion - $C + O_2 \rightarrow CO_2$

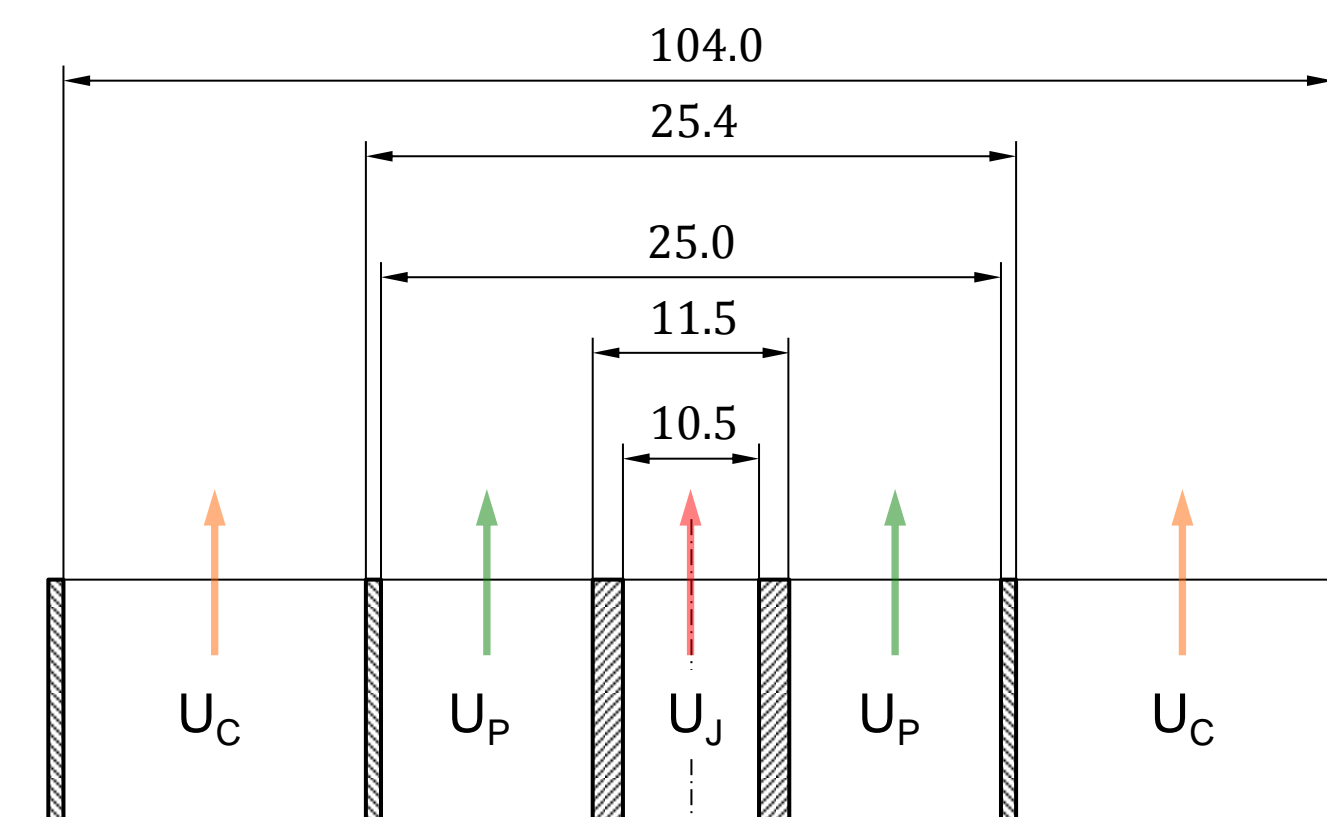
$$R_c = S_a \mu_e \gamma \rho_{p,A} k_i$$

S_a specific internal surface area, μ_e effectiveness factor,
 γ characteristic size, $\rho_{p,A}$ apparent density
 k_i intrinsic chemical rate

Literatur

- [1] Gounder, J. D., Kourmatzis, A., and A. R. Masri; Turbulent piloted dilute spray flames: Flow fields and droplet dynamics; Combustion and Flame, 159 (2012) 3372-3397.
- [2] Franchetti, B.M., Cavallo Marincola, F., Navarro-Martinez, S., Kempf, A.M., Large Eddy Simulation of a Pulverised Coal Jet Flame, Proc. Combust. Inst. 34 (2013) 2419-2426.
- [3] Kempf, A.M., Geurts, B.J., Oefelein, J., Error Analysis of Large-Eddy Simulation of the Turbulent Non-premixed Sydney Bluff-Body Flame, Combust. Flame 158 (2011) 2408-2419.
- [4] Pettit, M.W., Coriton, B., Gomez, A., Kempf, A.M., LES and Experiments on Non-Premixed Highly Turbulent 'Opposed Jet' Flows, Proc. Combust. Inst. 33 (2011) 1391-1399.

Der Sydney Spray Brenner



- Turbulente Aceton /Ethanol Spray Flamme
- Vorgemischte Pilot Flamme zur Stabilisation der Spray-Flamme
- Experimente durchgeführt von Masri et al., Universität Sydney [1]

Betriebsbedingungen

Gas Phase

- Mittlere Geschwindigkeit Jet $U_J=24\text{m/s}$ (Re=17.000)
- Mittlere Geschwindigkeit Pilot $U_P=1.5\text{m/s}$
- Mittler Geschwindigkeit Coflow $U_C=4.5\text{m/s}$

Flüssige Phase

- Mittlere Geschwindigkeit $U_J=24\text{m/s}$ (Re=18.000)
- Massenstrom $m_L=23.4\text{g/min}$
- Spray-Jet Dichte $\rho_J=1.33\text{kg/m}^3$
- Spray-Jet Viskosität $\mu_J=1.86 \cdot 10^{-5}\text{Pas}$
- Luft-Brennstoff-Verhältnis $\phi_J=0.8$

Simulationsergebnisse

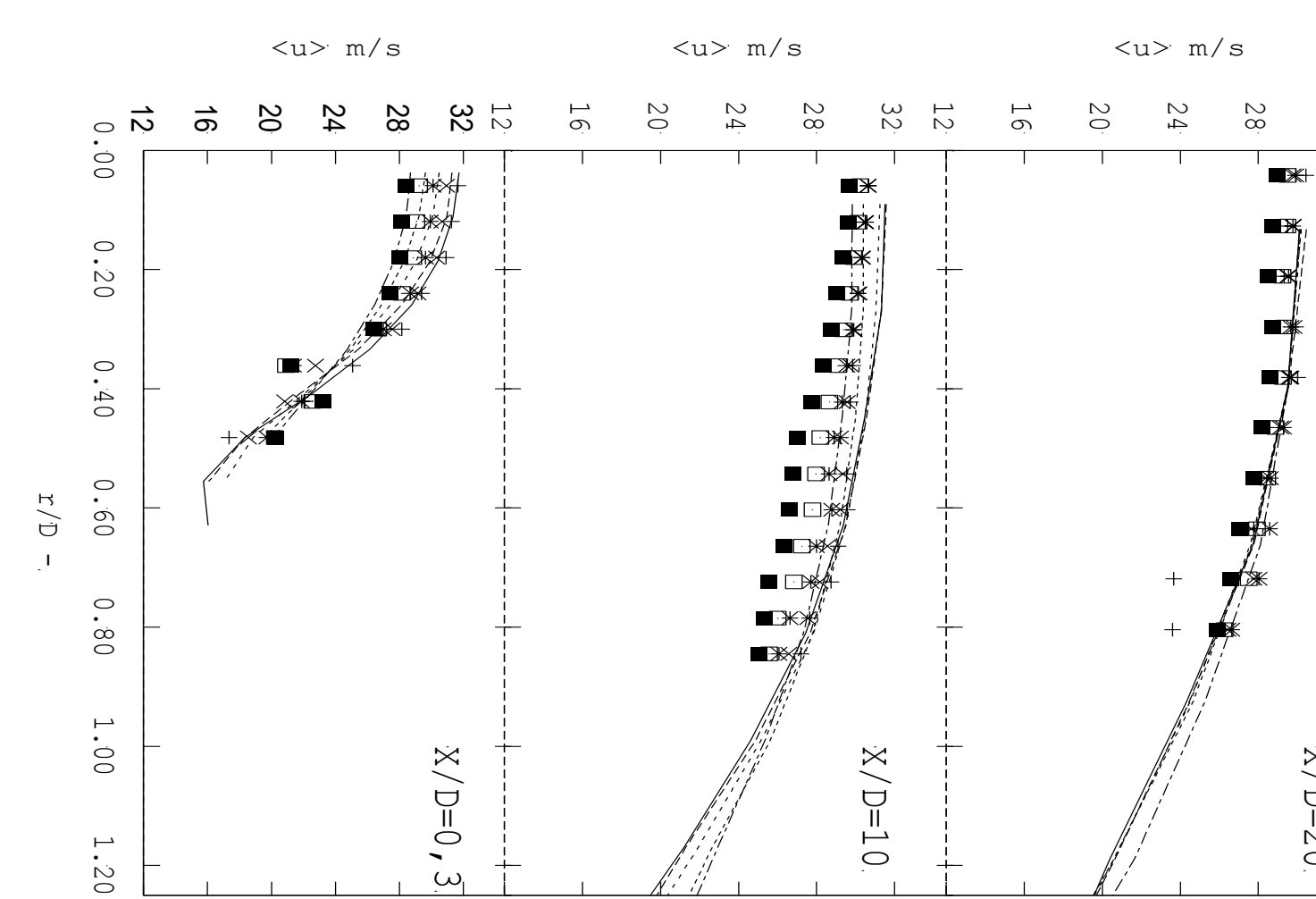


Abb. 5: Simulationsergebnisse gemittelte axiale Partikelgeschwindigkeiten, reaktiver Fall.

Darstellung der Mehrphasenströmung

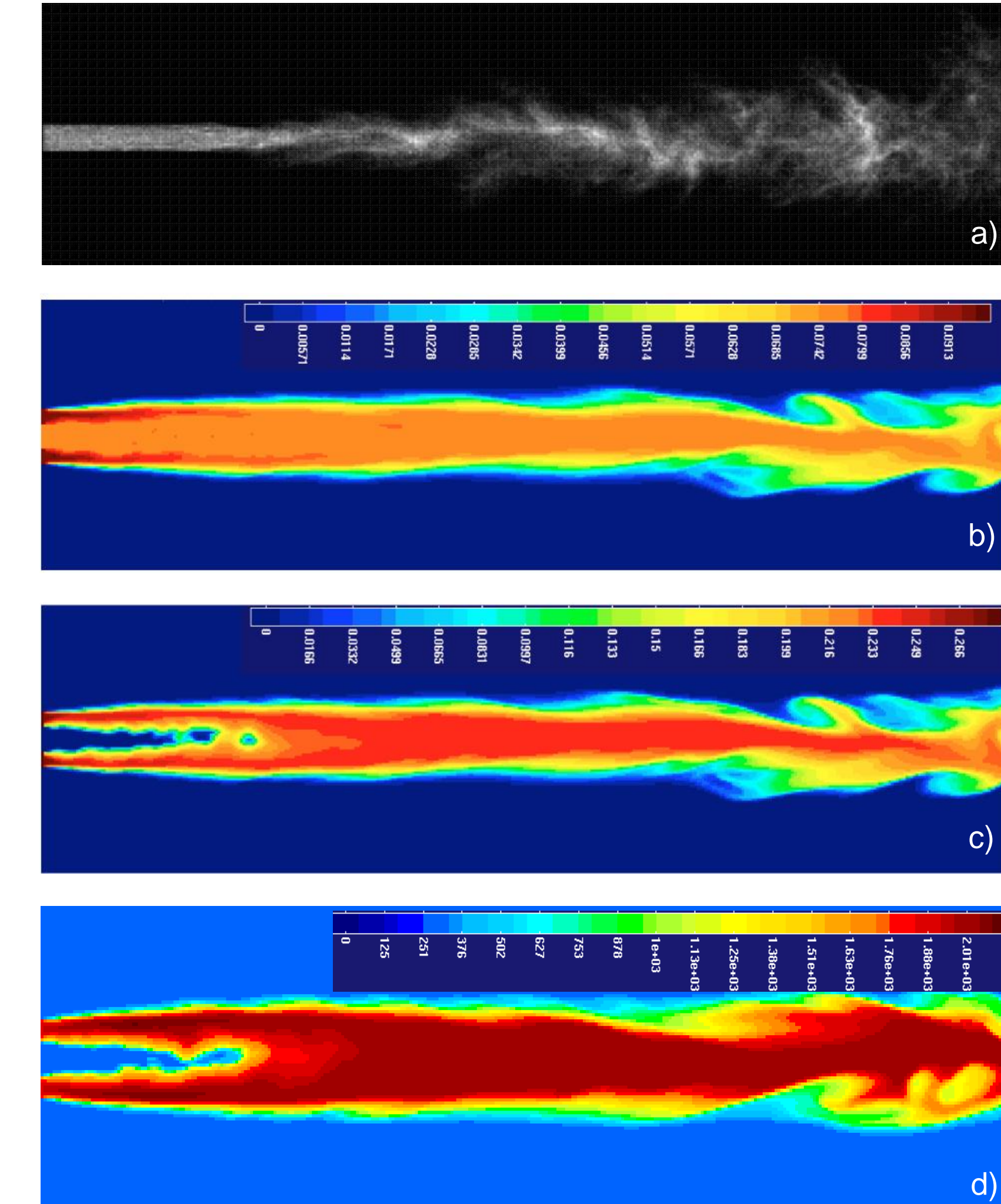


Abb. 4: Simulationsergebnisse, Momentaufnahme von a) Partikelverteilung nicht reaktiver Fall, b) Mischungsbruch c) normierte Fortschrittsvariable und d) Temperatur

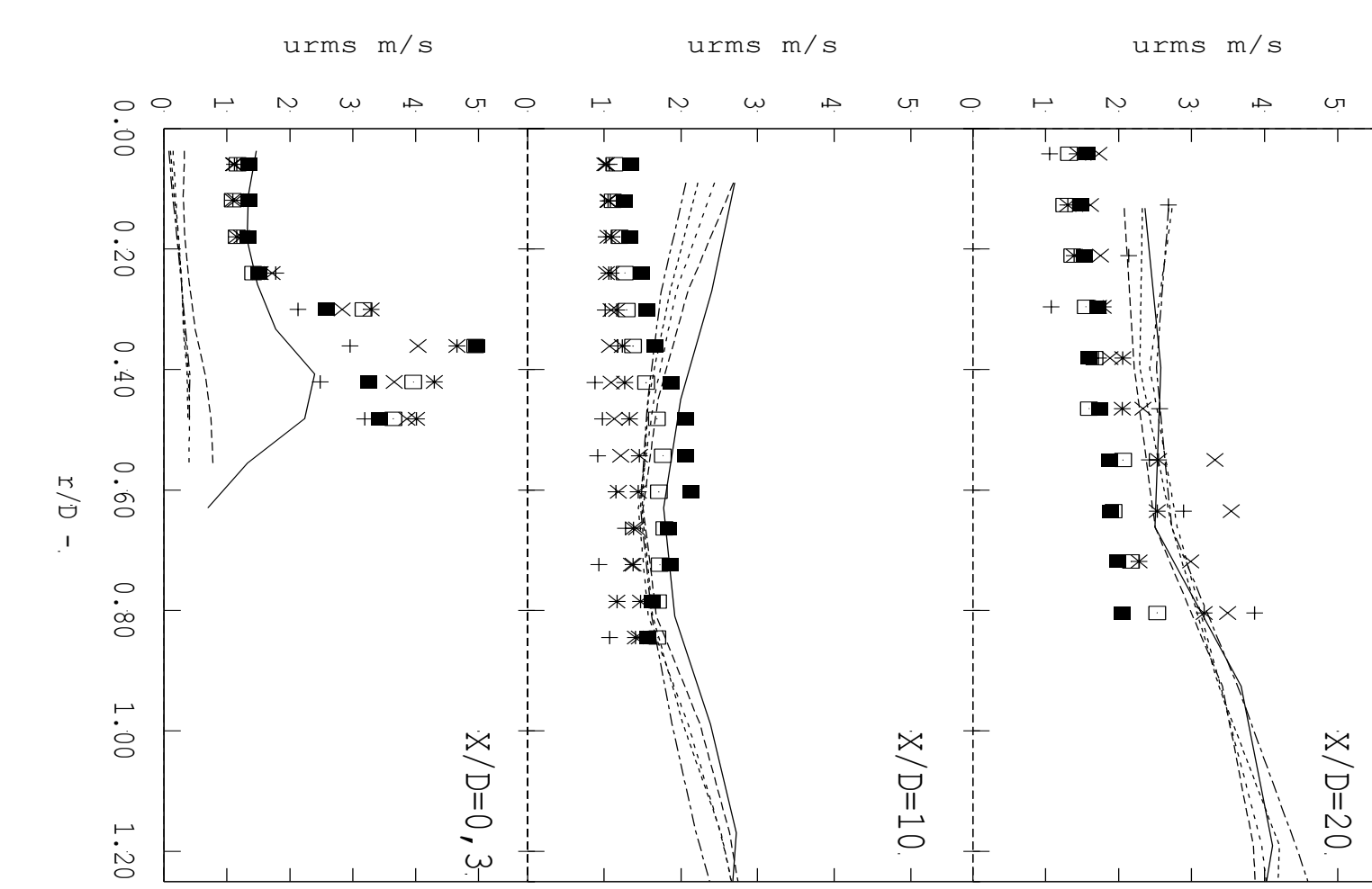


Abb. 6: Simulationsergebnisse Fluktuationen der axialen Partikelgeschwindigkeiten, reaktiver Fall.

The IST Large-scale Laboratory Furnace

- Multi-fuel burner: gaseous, solid, liquid fuels
- Large enough to reproduce the essential physics in full scale boilers: Fully turbulent flow and significant thermal radiation transfer

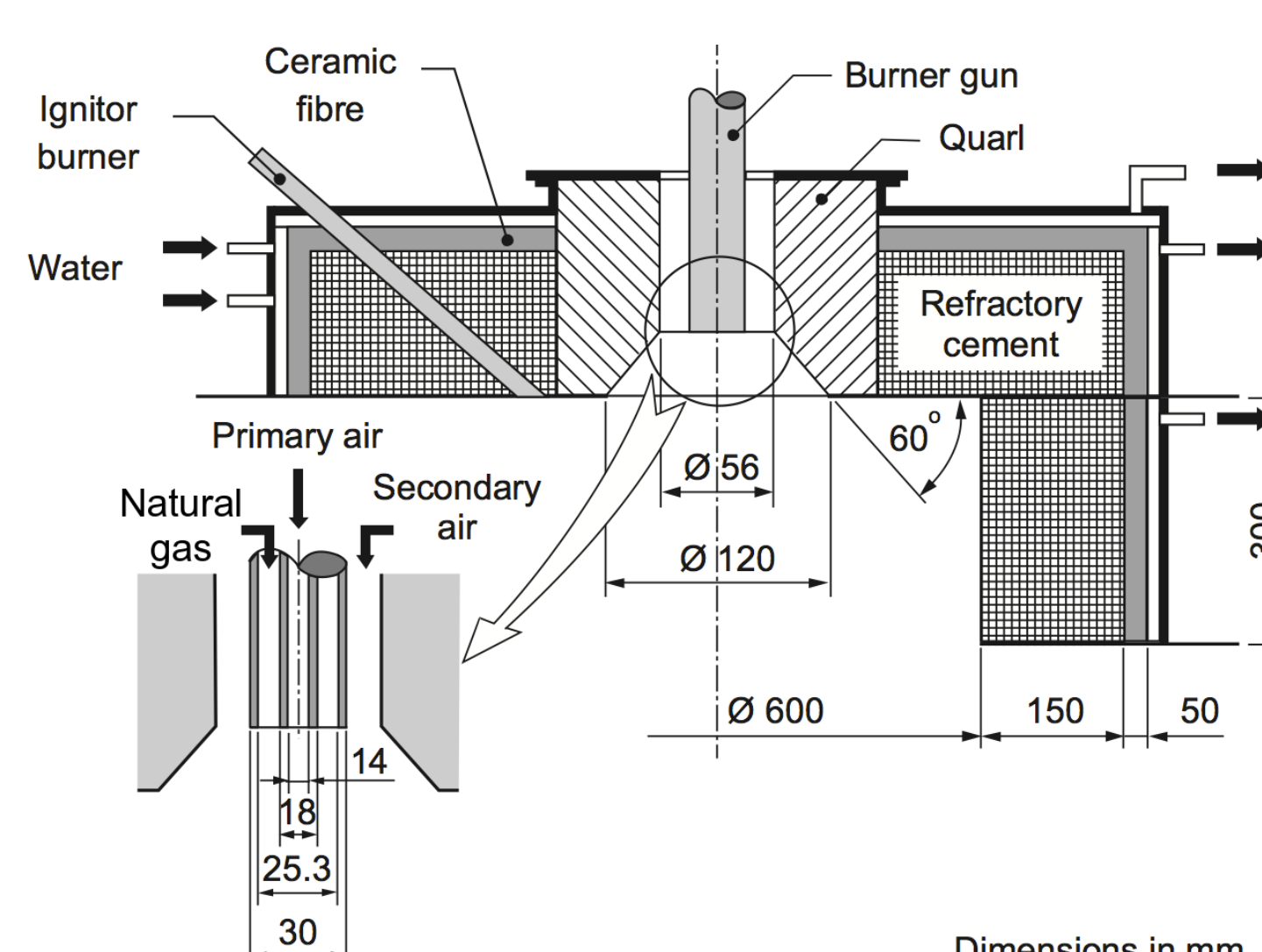


Abb. 7: Experimental setup for a natural gas test case.

Preliminary Results

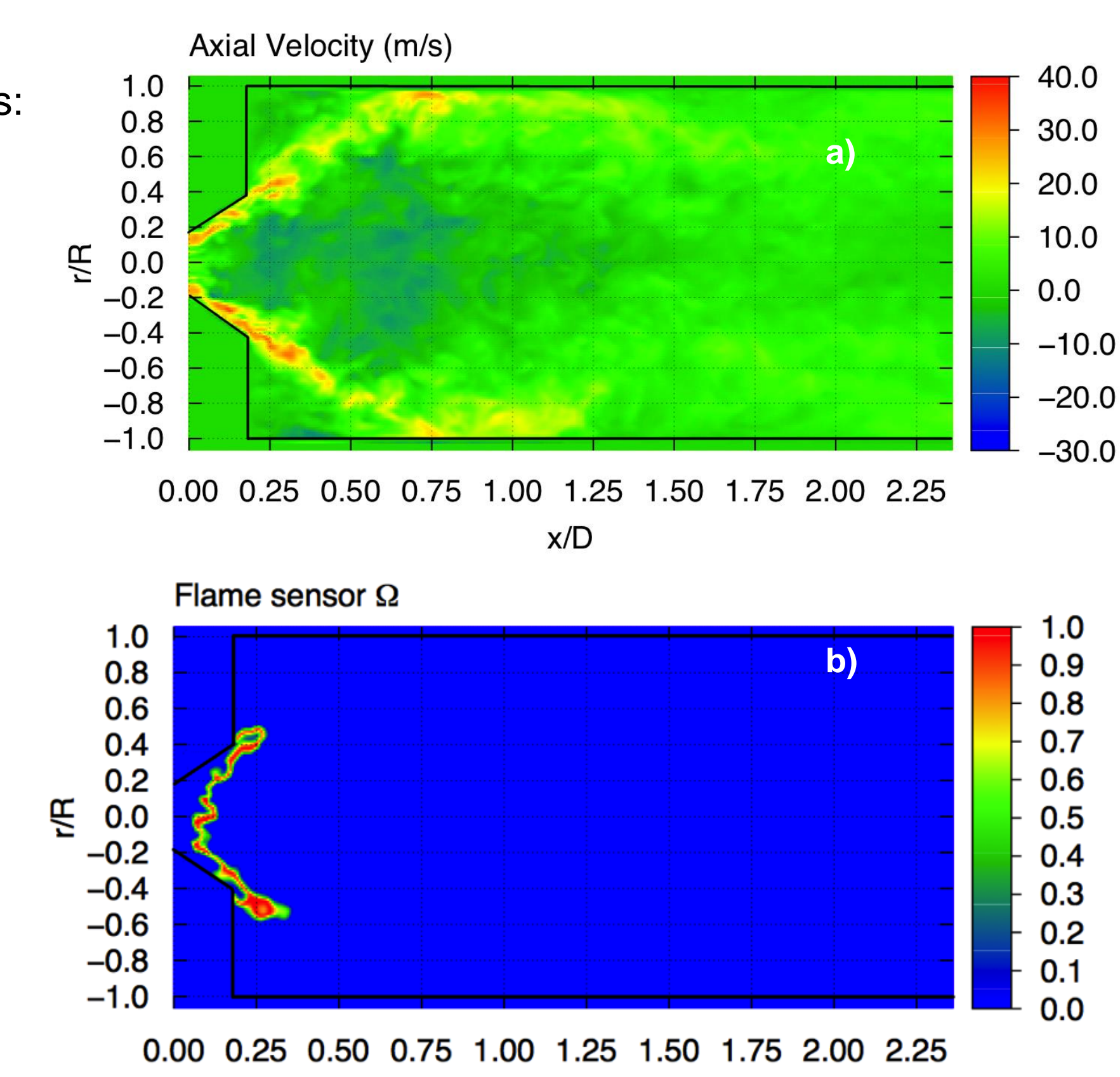


Abb. 8: Preliminary results for the natural gas test case
a) Instantaneous axial velocity. Note the recirculation zone, in a bubble-like structure, due to swirl. Particles are entrained in this area, increasing combustion residence time within poor combustion conditions inhibiting fuel-NO_x pollutant mechanism. b) Instantaneous flame sensor, based on the normalised progress variable C. Combustion takes place in the interface between inflow jets and the recirculation zone. Walls are depicted with a black line.

Zukünftige Arbeiten

Folgende Themen sollen in der Fortsetzung untersucht werden:

- Untersuchung weiterer Fälle des Sydney Spray Burners
- Untersuchungen bei hohen Partikeldichten
- Implementierung eines Stochastischen Modells zur Beschreibung der Partikeltransport-Prozesse
- Simulation von Nanopartikel Spray Reaktoren
- Implementation of devolatilization and char combustion models
- Construction of a chemistry table for volatile combustion
- Inclusion of convective and radiative heat transfer
- Investigation of interaction of biomass and coal particles during co-firing